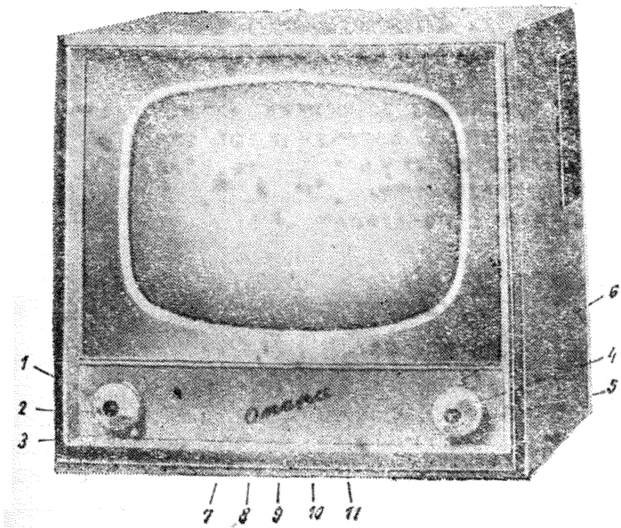


„ОПЕРА 3“

1.1. ОБЩИ СВЕДЕНИЯ, КОНСТРУКЦИЯ, МОНТАЖ

В същото схемно и конструктивно усъвършенстване телевизионните приемници „Опера“ са преминали последователно през вариантите „Опера 1“, „Опера 2“, „Опера 3“ и „Опера 4“. Ние ще разгледаме подробно най-раз-



Фиг. 1-1. Разположение на регулаторите при „Опера 3“

пространения модел „Опера 3“, като в края на тази глава ще посочим по-съществените различия от останалите модели.

Характерно за „Опера 3“ е безтрансформаторното захранване (използвани са радиолампи от Р-серия и такива от Е-серия с отопителен ток 300 mA). Подобрени са редица възлови места от електрическата схема. Използван е кинескоп с диагонал на экрана 43 см при ъгъл на отклонение на лъча 90°.

На предната страна на телевизора вляво (фиг. 1-1) са разположени регулаторите за сила на звука (комбиниран с мрежовия ключ) 1, за тона 2 и за контраста 3, а вдясно — за превключване на каналите 4, за фино настройване на хетеродина 5 и за яркост 6. Под долната предна част на телевизора са монтирани още пет регулатора — за честота на редовете 7, за фокусировка 8, за вертикална линейност 9, за вертикален размер 10 и за честота на кадрите 11 (изброяването е направено отляво надясно).

Отзад са монтирани две двойки букси за включване на телевизионната антена съответно при силен и при слаб сигнал и съединителят за свързване на приставка за дистанционно управление.

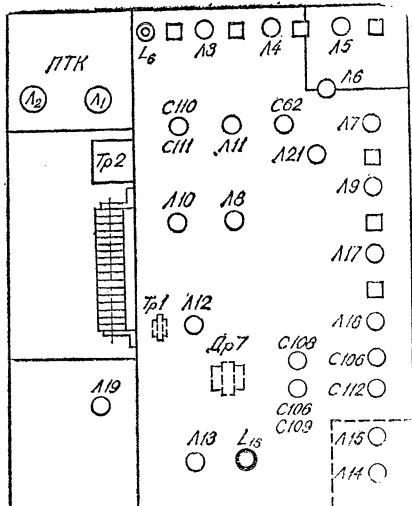
1.2. ОСНОВНИ ТЕХНИЧЕСКИ ДАННИ НА „ОПЕРА 3“

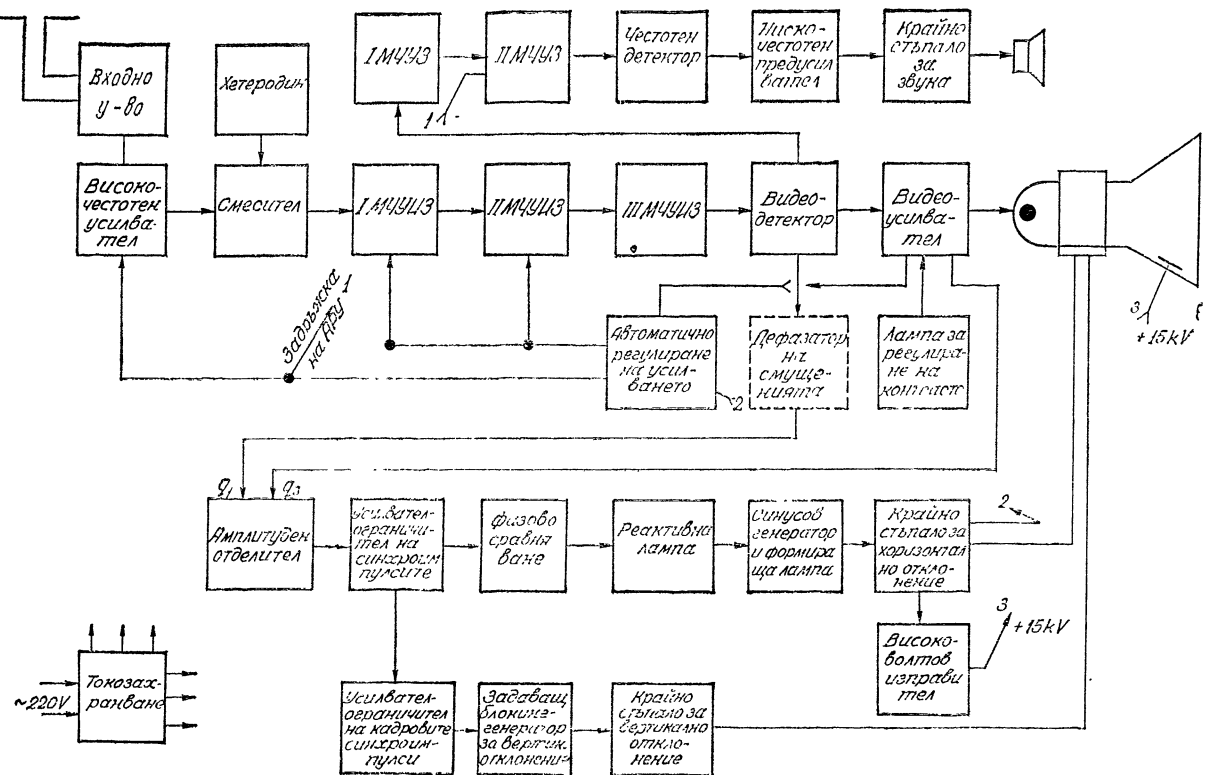
1. Честотен обхват — 12 телевизионни канала от I и III обхват (от тях IV канал е резервен).
2. Чувствителност — по-добра от 100 μ V.
3. Междинни честоти:
 - междинна честота за изображението — 38,9 MHz;
 - първа междинна честота за звука — 32,4 MHz;
 - втора междинна честота за звука — 6,5 MHz;
4. Антенен вход — симетричен, 240 Ω .
5. Нелинейни изкривявания — по-малки от 10%.
6. Геометрични изкривявания на растера — по-малки от 2%.
7. Разделителна способност във вертикално направление — 450 линии.
8. Големина на экрана — 365 \times 270 mm.
9. Ъгъл на отклонение на лъча — 90°.
10. Фокусировка — електростатична.
11. Високоговорители — два елиптични екцентрични по 3 W (при последните серии е монтиран само един).
12. Номинална изходна мощност на звуковия канал — 1,5 W при коефициент на нелинейни изкривявания $k \leq 7\%$.
13. Честотна лента на звуковия канал — от 100 Hz до 10 kHz.
14. Селективност — по-добра от 30 dB.
15. Фон — по-малък от 36 dB.
16. Честота на мрежата — 50 Hz.
17. Мрежово напрежение — 220 V.
18. Консумирана мощност — 150 VA.
19. Размери на приемника — 554 \times 514 \times 457 mm.
20. Маса — 28 kg.

1.3. ПРЕДНАЗНАЧЕНИЕ НА РАДИОЛАМПИТЕ И ПОЛУПРОВОДНИКОВИТЕ ЕЛЕМЕНТИ ПРИ „ОПЕРА 3“ (фиг. 1-2)

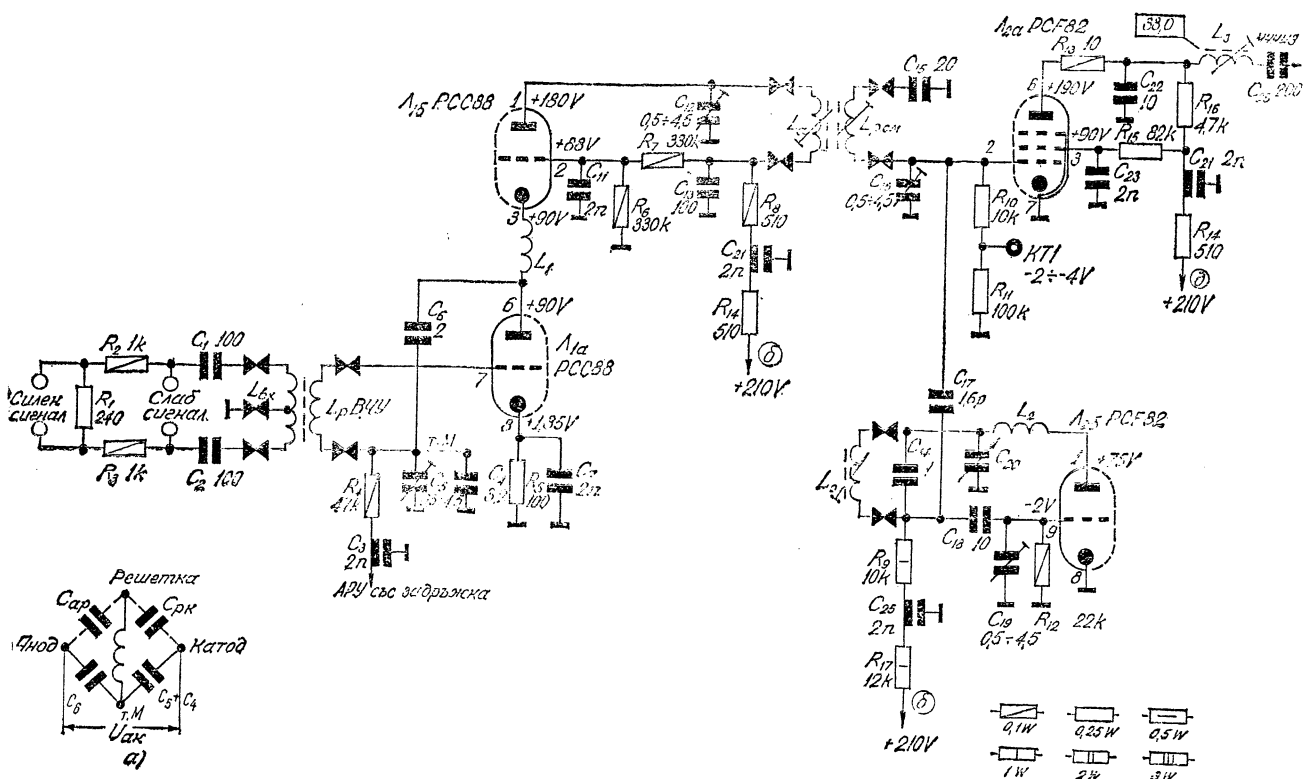
- | | | |
|-------|-------|--|
| L_1 | PCC88 | — високочестотен усилвател. |
| L_2 | PCF82 | — смесител и хетеродин. |
| L_3 | EF80 | — първо стъпало на междинночестотния усилвател за изображението и първата междинна честота на звука. |
| L_4 | EF80 | — второ стъпало на междинночестотния усилвател за изображението и първата междинна честота на звука. |
| L_5 | EF80 | — трето стъпало на междинночестотния усилвател за изображението и първата междинна |

- L_6 EAA91 честота на звука.
 $(D_1$ SFD 104) — видеодетектор и диод за задръжка на АРУ.
 L_7 PL83 — видеодетектор.
 L_8 — видеоусилвател.





Фиг. 1-3. Блокова схема на „Опера 5“



Фиг. 1-4. Входно устройство, високочестотен усилвател, смесител и хетеродин при „Опера 3“

смесителя напрежение в аподната му верига от лентов филтър, в който участвува и бобината L_3 . Останалите елементи са монтирани във входа на междинночестотния усилвател. R_{13} и C_{22} образуват Γ -филтър за отвеждане към шаси на остатъците от високата честота и техните хармонични. Утечният резистор на лампата е образуван от R_{10} и R_{11} . Втората решетка се захранва през R_{15} ; C_{23} я заземява по променлив ток. R_{16} е товарен резистор за смесителя. C_{26} е разделителен кондензатор, подаващ сигнала към входа на междинночестотния усилвател.

Хетеродинът е изпълнен по капацитивна три точкова схема с лампата L_{26} . Трептящият му кръг е образуван от осцилаторната бобина L_0 и кондензаторите C_{14} и C_{20} , последният от които служи за фино настройване на честотата на хетеродина. Бобината L_2 увеличава амплитудата на осцилаторното напрежение при каналите от III обхват; C_{18} е разделителен; C_{19} се използва за нагласяване на амплитудата на осцилаторното напрежение, а R_{12} е утечен резистор. Анодното захранване се подава през филтърната група R_{17} , C_{25} , която не позволява изльчването на осцилаторното напрежение през веригата на захранването. R_9 е разделителен резистор.

1.6. МЕЖДИНОЧЕСТОТЕН УСИЛВАТЕЛ ЗА ИЗОБРАЖЕНИЕТО И ПЪРВАТА МЕЖДИННА ЧЕСТОТА НА ЗВУКА (фиг. 1-5)

Междинночестотният усилвател е триътаплен. Първите две стъпала се управляват от групата за автоматично регулиране на усилвателето, напрежението от която се подава към лампите L_3 и L_4 през разделителните резистори R_{19} , R_{25} и филтърните кондензатори C_{40} , C_{38} , C_{42} и C_{39} .

На входа на първото стъпало са свързани елементите от лентовия филтър за връзка със смесителя L_4 , C_{28} и двата режекторни кръга L_5 , C_{31} и L_6 , C_{32} , свързани с C_{29} и C_{30} . Връзките между стъпалата се осъществяват с бифилиярно павитите бобини L_7 , L_9 и L_{19} , индуктивно към които са свързани режекторните кръгове L_8 , C_{37} и L_{10} , C_{47} . Групите в катодите на първите две лампи R_{21} , C_{33} и R_{27} , C_{31} определят такава работна точка на стъпалата, при която регулирането на усилвателето им от групата за АРУ се отразява най-слабо върху промяната на входните параметри и честотната характеристика. За стабилизиране на последните се използват и резисторите за отрицателна обратна връзка R_{20} и R_{29} .

Третото стъпало е свързано с видеодетектора посредством лентовия филтър L_{11} , L_{12} , C_{53} . Преднапрежението на L_5 се получава от групата R_{36} , C_{48} .

Лампите получават захранване през филтърните групи C_{35} , R_{23} , C_{34} ; C_{46} , R_{31} , C_{44} и R_{37} , C_{52} , R_{41} , C_{50} .

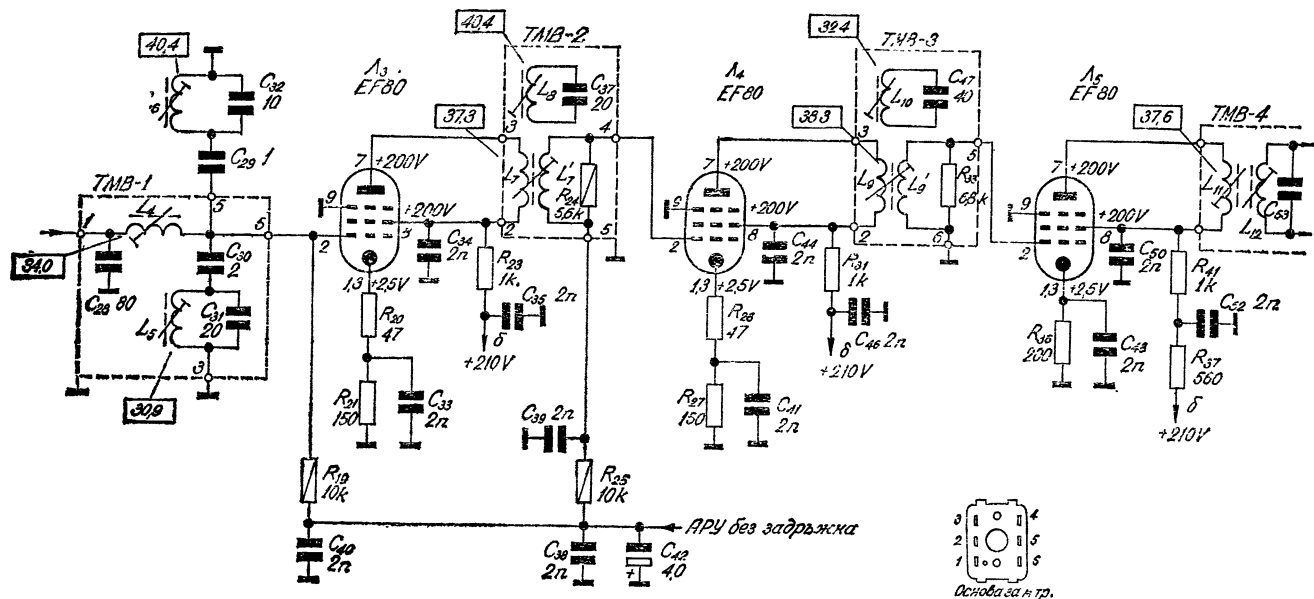
1.7. ВИДЕОДЕТЕКТОР, ВИДЕОУСИЛВАТЕЛ, РЪЧНО РЕГУЛИРАНЕ НА КОНТРАСТА, АВТОМАТИЧНО РЕГУЛИРАНЕ НА УСИЛВАНЕТО И ВЕРИГИ НА КИНЕСКОПА (фиг. 1-6)

Видеодетекторът е изпълнен с диода D_1 . За товар му служи резисторът R_{42} . В групата за сложна високочестотна корекция участват дроселите D_{p_2} , D_{p_3} , D_{p_4} и резисторът R_{44} . Кондензаторът C_{54} заземява останалите след детектирането междинночестотни сигнали и техните хармонични.

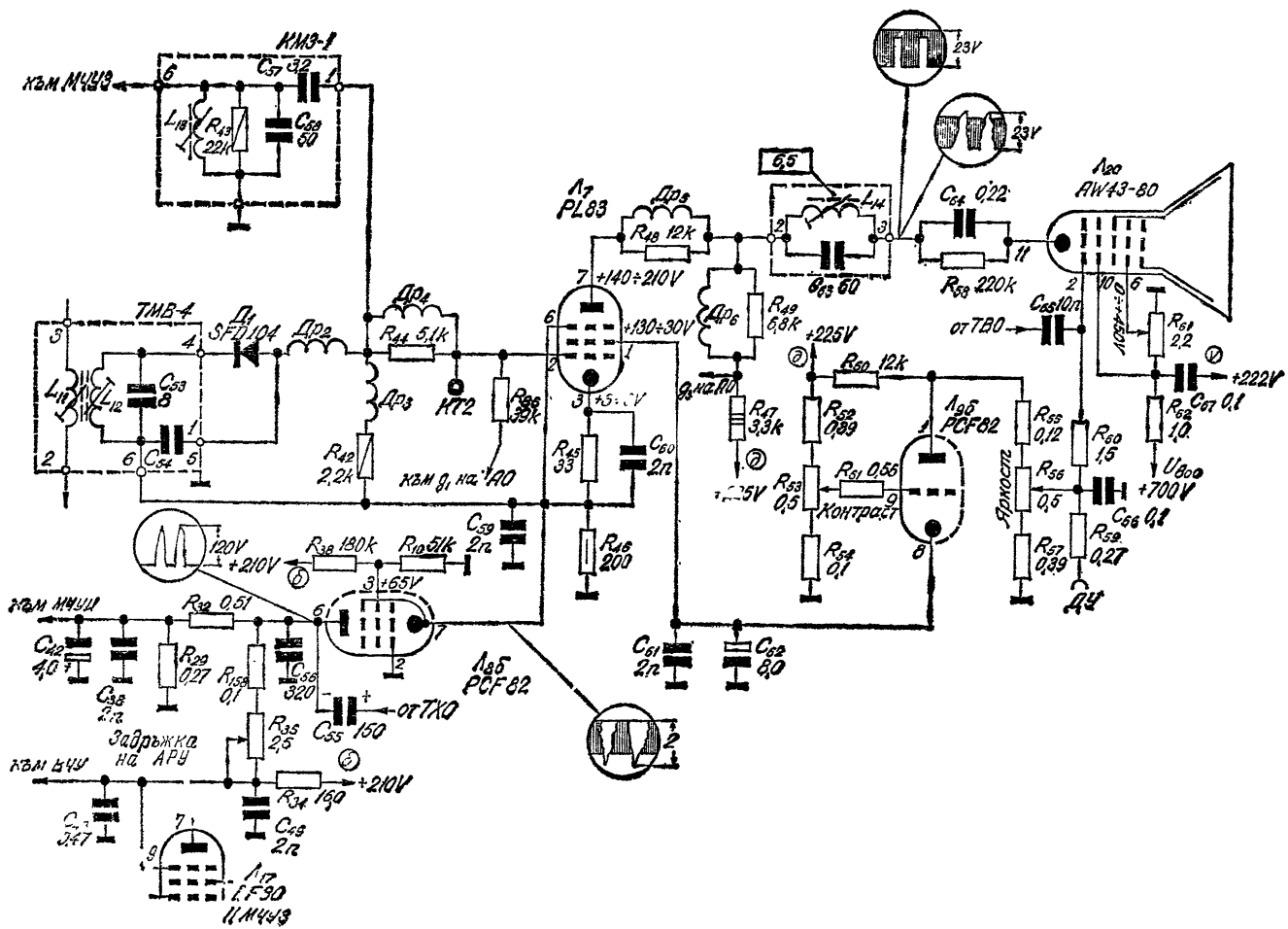
Видеоусилвателят е изпълнен с лампата L_7 . За товар служи резисторът R_{47} . Дроселът за високочестотна корекция D_{p_6} , навит върху R_{49} , разширява честотната лента. Връзката с катода на кинескопа е галванична — през дросела за високочестотна корекция D_{p_5} (навит върху R_{48}), през режекторния кръг за спираше на втората междинна честота на звука L_{14} , C_{63} и през групата, състояща се от резистора за ограничаване на тока на лъча на кинескопа R_{58} и кондензатора за прехвърляне на видеосигнала C_{64} .

Ръчното регулиране на контрастта се извършва с изменение на потенциала на екранната решетка на видеоусилвателната лампа, при което се изменя режимът на лампата за автоматично регулиране на усилвателето поради промяната на катодния потенциал на видеоусилвателната лампа. От плъзгача на потенциометъра за регулиране на контрастта R_{53} през R_{51} се подава към управляващата рефлекса на лампата за ръчно регулиране на контрастта L_{96} различно по големина положително напрежение, което изменя в различна степен вътрешното съпротивление на лампата, а оттам и потенциала на втората решетка на L_7 . За да не се променя яркостта на кинескопа при регулиране на контрастта, потенциометърът за регулиране на яркостта R_{59} е свързан с R_{53} и R_{57} в делител на напрежението, което се получава на анода на L_{96} . Кондензаторите C_{61} и C_{62} заземяват втората решетка на L_7 по променлив ток. C_{66} е филтърен кондензатор, включен във веригата за регулиране на яркостта; R_{60} е разделителен резистор, а R_{59} осъществява дистанционното регулиране на яркостта при наличието на приставка за това. През C_{65} се подават към Венцелтовия цилиндър на кинескопа гасящите импулси за обратния ход на кадрите.

Групата за автоматично регулиране на усилвателето е изпълнена с лампата L_{86} . Делителят R_{38} , R_{10} захранва екранната решетка. Към катода на L_{86} се подава видеосигнал с отрицателна полярност, който се взема от катода на видеоусилвателната лампа L_7 , а към анода на лампата се подават през капацитивния делител C_{55} , C_{56} импулси на обратния ход на редовете с положителна полярност. Те се вземат от допълнителната намотка на трансформатора за хоризонтално отклонение. Протичащият през лампата импулсен ток е пропор-

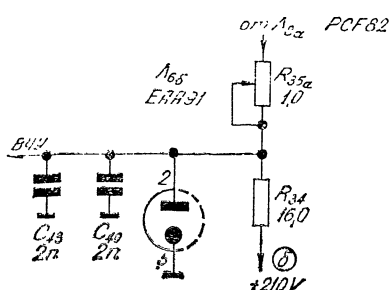


Фиг. 1-5. Междиночестотен усилвател за изображението и първата междинна честота на звука при „Опера 3“



Фиг. 1-6. Видеодетектор, видеоусилвател, ръчно регулиране на контраста, автоматично регулиране на усилването и вериги на кинескопа при „Опера 3“

ционален на амплитудата на синхроимпулсите за редове, които съвпадат по време с импулсите на обратния ход на редовете, постъпващи на анода ѝ. Този импулсен ток зарежда кондензатора C_{55} отрицателно спрямо анода на J_{86} . Делителят R_{32} , R_{29} подава част от полученото отрицателно напрежение към веригите на пър-



Фиг. 1-7. Диод за задръжка на АРУ при първите серии на „Опера 3“

вите решетки на управляваните лампи от междинночестотния усилвател за изображението L_3 и L_4 , а през R_{158} и R_{35} — към веригата на управляващата решетка на лампата на високочестотния усилвател L_{1a} . Трета решетка и катодът на L_1 , образуват диод за задръжка на АРУ, който е отпущен от подаваното през R_{34} положително напрежение до момента, в който изработваното от групата за АРУ напрежение придобие по-голяма абсолютна стойност, след което диодът се запушва и регулиращото напрежение се подава към високочестотния усилвател. Това става, след като входният сигнал надвиши определено ниво; по този начин се подобрява отношението сигнал/шум на приемника при слаби сигнали. C_{43} , C_{49} , C_{38} и C_{42} са филтърни кондензатори във веригите на АРУ.

При първите серии диодът за задръжка е изпълнен по схемата от фиг. 1-7. В табл. 1-1 са показани данните за дроселите.

Таблица 1-1

Данни за дроселите

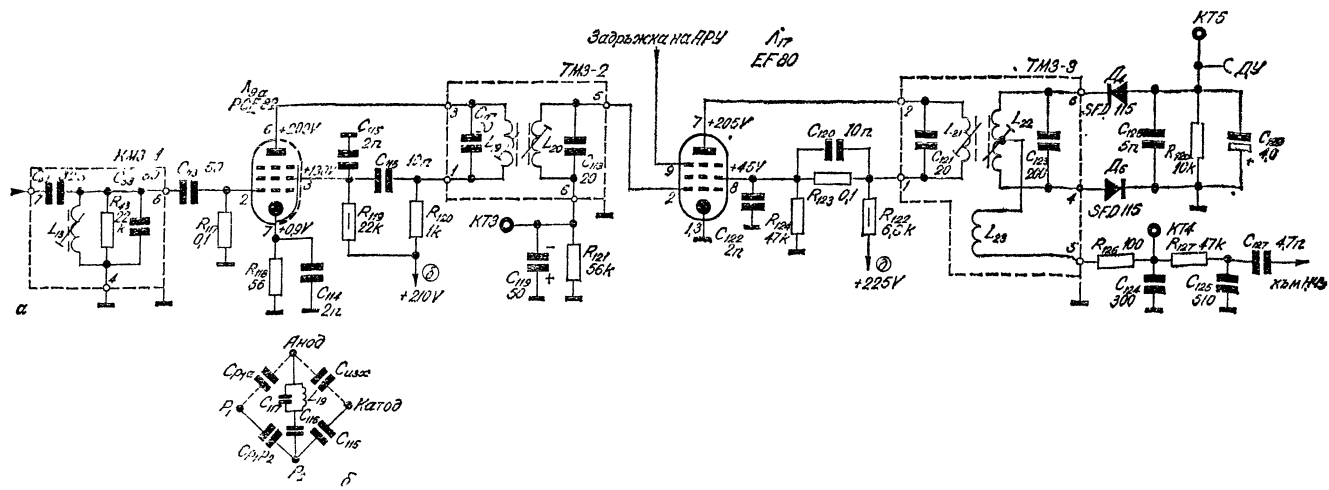
Дро- сел	Брой на на- вивки- те	Вид на намотката	Проводник	Индук- тивност mH	Съпротив- ление, Ω
Dp_1	4	Еднослойна	ПЕЛ 0,57	0,12	
Dp_2	125	Универсална	ПЕЛКЕ 0,13	65	3,7
Dp_3	245	Универсална	ПЕЛКЕ 0,13	325	9,5
Dp_4	130	Универсална	ПЕЛКЕ 0,13	75	4,0
Dp_5	125	Универсална	ПЕЛКЕ 0,13	97	4,5
Dp_6	200	Универсална	ПЕЛКЕ 0,13	200	7,1

Първият анод на кинескопа се захранва от делителя R_{62} , R_{61} . Вторият резистор е регулятор за фокусирането. C_{67} е филтърен кондензатор.

1.8. УСИЛВАТЕЛ ЗА ВТОРАТА МЕЖДИННА ЧЕСТОТА НА ЗВУКА И ЧЕСТОТЕН ДЕМОДУЛАТОР (фиг. 1-8)

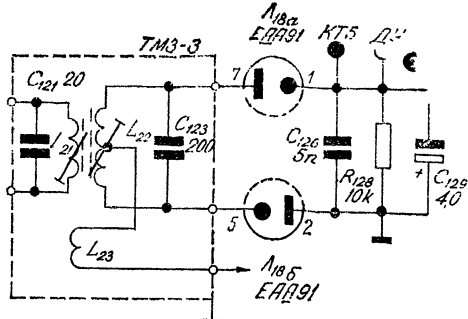
Втората междинна честота на звука се получава след видеодетектора в резултат на биенето между първата междинна честота на звука и междинната честота на изображението, отделя се с трептящия кръг L_{13} , C_{58} и се прехвърля към усилвателя за втората междинна честота на звука. Последният е двустъпален, изпълен с лампите L_{9a} и L_{17} . Връзката между стъпалата му се осъществява с лентовия филтър L_{19} , C_{115} , L_{20} , C_{118} .

Преднапрежението на L_{9a} се получава автоматично от групата в катода R_{118} , C_{114} . Анодното напрежение се подава през гасящия резистор R_{120} , а екранното — през R_{119} . Екранната решетка е заземена по променлив ток през C_{115} . Кондензаторът C_{116} служи за получаване на показания на фиг. 1-10б капацитетен мост, който премахва опасността от самовъзбуждане на първото стъпало. Резисторът R_{117} с утечен.



Фиг. 1-8. Усилвател за втората междинна честота на звука и честотен демодулатор при „Опера 3“

Преднапрежението на L_{17} се получава от противата в решетъчната верига токове (попади ограничителния режим на лампата), които зареждат кондензатора C_{119} отрицателно спрямо $KT3$. Резисторът R_{121} е утечен. Анодната верига се захранва през R_{122} , а екранината



Фиг. 1-9. Честотен демодулатор при първите серии на „Опера 3“

решетка — през делителя R_{123} , R_{124} . Ниското екранно напрежение на L_{17} определя нейния режим ограничителен режим. Кондензаторите C_{120} и C_{122} образуват заедно с паразитните капацитети на L_{17} мостова схема за предпазване на второто стъпало от самовъзбуждане, подобна на показаната на фиг. 1-10б.

Честотният демодулатор е изпълнен по схема на несиметричен дробен детектор с диодите D_4 , D_5 , товарния резистор R_{128} , кондензаторите C_{129} , C_{128} , трептящите кръгове L_{21} , C_{121} и L_{22} , C_{123} и бобината за връзка L_{23} . Полученият нисковъздушен сигнал се подава към нисковъздушния усилвател през групата R_{126} , C_{124} , която отвежда към шаси остатъците от сигнализите на междинната честота на звука и през групата за намаляване на нивото на високите звукови честоти R_{127} , C_{125} . Кондензаторът C_{127} е разделителен. Дробният детектор при първите серии е изпълнен по схемата от фиг. 1-9.

1.9. НИСКОЧЕСТОТЕН УСИЛВАТЕЛ (фиг. 1-10)

Нисковъздушният усилвател е двустъпален. Първото стъпало (L_{19a}) е предусилвателно, а второто (L_{19b}) — краен усилвател на мощност, изпълнен по трансформаторна схема.

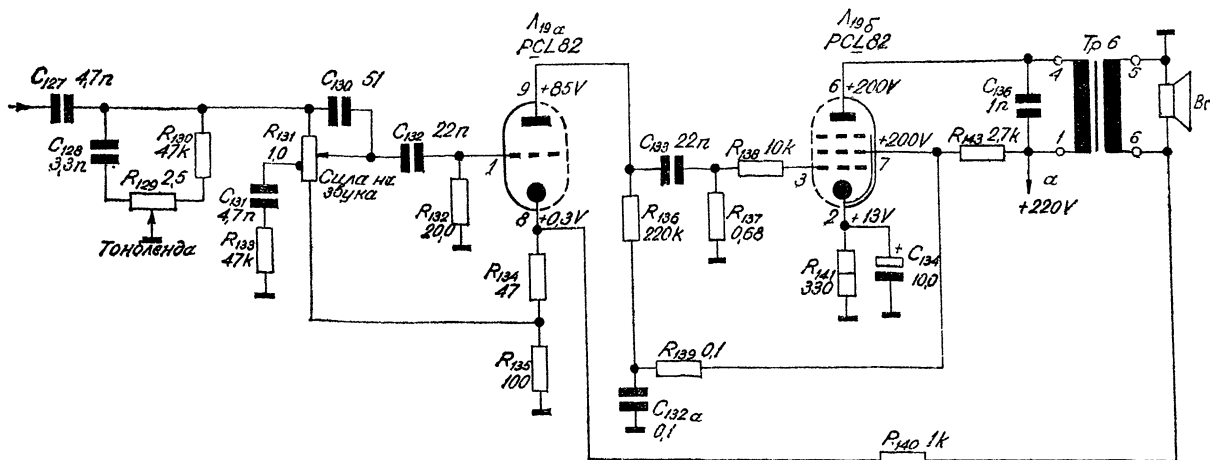
Нисковъздушният сигнал се подава към първото стъпало през групата за регулиране на тона, съставена от C_{128} , R_{129} и R_{130} . В зависимост от положението на плъзгача на R_{129} се отвеждат в различна степен към шаси високите тонове на звуковия сигнал. Регулаторът за сила на звука R_{131} е честотно компенсиран — при положение на плъзгача му под допълнителния извод се увеличава амплитудата на високите честоти от тембъра (те се прехвърлят от C_{130}) и на ниските честоти от тембъра (R_{133} и C_{131} отвеждат към шаси средните честоти от тембъра). Кондензаторът C_{132} е разделителен, а R_{132} е утечен за L_{19a} . В общата точка на катодните резистори R_{134} , R_{135} е свързан долният извод на регулатора за сила на звука, с което се осъществява верига за отрицателна обратна връзка. Втора такава верига се получава с подаваното от R_{140} напрежение от изхода на усилвателя. Трета обратна връзка се получава от напрежението върху резистора R_{143} . По този начин се подобрява качеството на звуковия съпровод. Товар на L_{19a} е резисторът R_{138} . Захранващо напрежение първото стъпало получава през филтърната група R_{139} , C_{132a} .

Преднапрежението за крайната лампа се по-

Таблица 1-2

Изходен трансформатор за звука $T_P 6$

Намотка	Брой на навивките	Проводник
Първична		
Вторична	2×1500 75	ПЕЛ 0,51 ПЕЛ 0,72



Фиг. 1-10. Нисковъздушен усилвател при „Опера 3“

лучава автоматично от групата в катода R_{141} , C_{134} . Резисторът R_{137} е утечен, а R_{138} намалява опасността от самовъзбуждане на крайното стъпало. C_{133} е разделителен. Товар на L_{196} е Tp_6 , шунтиран за високите тонове с C_{136} . Екранната решетка се захранва през R_{143} .

Данните за изходния трансформатор за звука Tp_6 са показани в табл. 1-2.

1.10. АМПЛИТУДЕН ОТДЕЛИТЕЛ И УСИЛВАТЕЛ-ОГРАНИЧИТЕЛ ЗА СИНХРОИМПУЛСИТЕ (фиг. 1-11)

Амплитудният отделител е изпълнен с лампата L_{11a} по схема с клапанна защита. Ограничительният режим на лампата се осигурява от ниските анодно и еcranно напрежения, които се получават от делителите R_{86} , R_{87} , R_{88} , R_{89} , и от отрицателното преднапрежение за третата решетка, което се получава при зареждането на разделителния кондензатор C_{81} от протичащите във веригата на трета решетка токове при отделянето на синхроимпулсите. За времето между два съседни синхроимпулса кондензаторът C_{81} се разрежда през резистора R_{82} така, че лампата L_{11a} се отпуска по трета решетка от следващия синхроимпулс. Групата R_{83} , C_{62} е против импулсни смущения. За същата цел се използва и клапанната защита, реализирана с подаването на комплектен телевизионен сигнал с отрицателна полярност към първата решетка на лампата. Резисторът R_{84} подава положителен потенциал към същата решетка, който отпуска лампата. При наличието на смущаващи импулси с по-голяма амплитуда от тази на синхроимпулсите лампата се запушва по първа решетка и те не се отделят в анодната ѝ верига.

Отделните синхроимпулси се подават с разделителния кондензатор C_{84} към стъпалото за усилване и ограничаване, изпълнено с L_{11b} . Ограничительният режим се определя от протичащите решетъчни токове, които зареждат кондензатора C_{84} отрицателно спрямо управляващата решетка на L_{11b} . Резисторът R_{90} е утечен. Товар на стъпалото за синхроимпулсите за редове е трансформаторът за фазово сравняване Tf_3 . Той има високо индуктивно съпротивление за сигналите с честота на редовете и ниско — за сигналите с честотата на кадрите. За стъпалото за синхроимпулсите за кадри товар е R_{91} ; те се отделят с разделителния кондензатор C_{68} и се формират от двойната интегрираща група R_{63} , C_{69} , R_{65} , C_{70} .

При първите серии „Опера 3“ се използова дефазатор за смущенията (фиг. 1-12). При него смущаващите импулси с отрицателна полярност се отделят от честотите на видеосигнала, лежащи в областта около 3 MHz, с трептящия кръг L_{23} , C_{170} и се подават с бобината за връзка L_{24} към лампата на дефазатора за смущенията L_{21} , която ги усилва, интегрира с C_{148} и прехвърля с R_{148} и C_{150} към първата решетка на L_{11a} . В областта над 2 MHz нивото на съставните на полезния видеосигнал

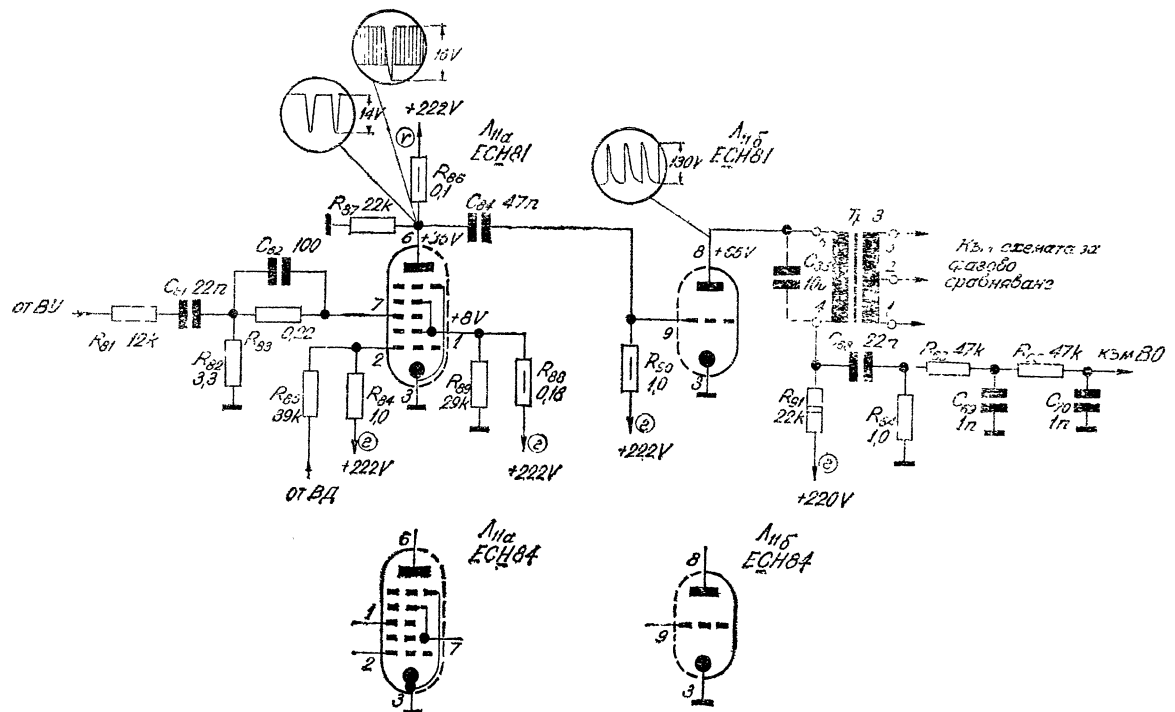
е ниско, докато нивото на съставните на смущаващите импулси се запазва все още високо и те се отделят по-добре. R_{147} и C_{149} определят работната точка на L_{21} .

1.11. ГРУПА ЗА ФАЗОВО СРАВНЯВАНЕ, РЕАКТИВНА ЛАМПА, СИНУСОВ ГЕНЕРАТОР И ФОРМИРАЩА ЛАМПА (фиг. 1-13)

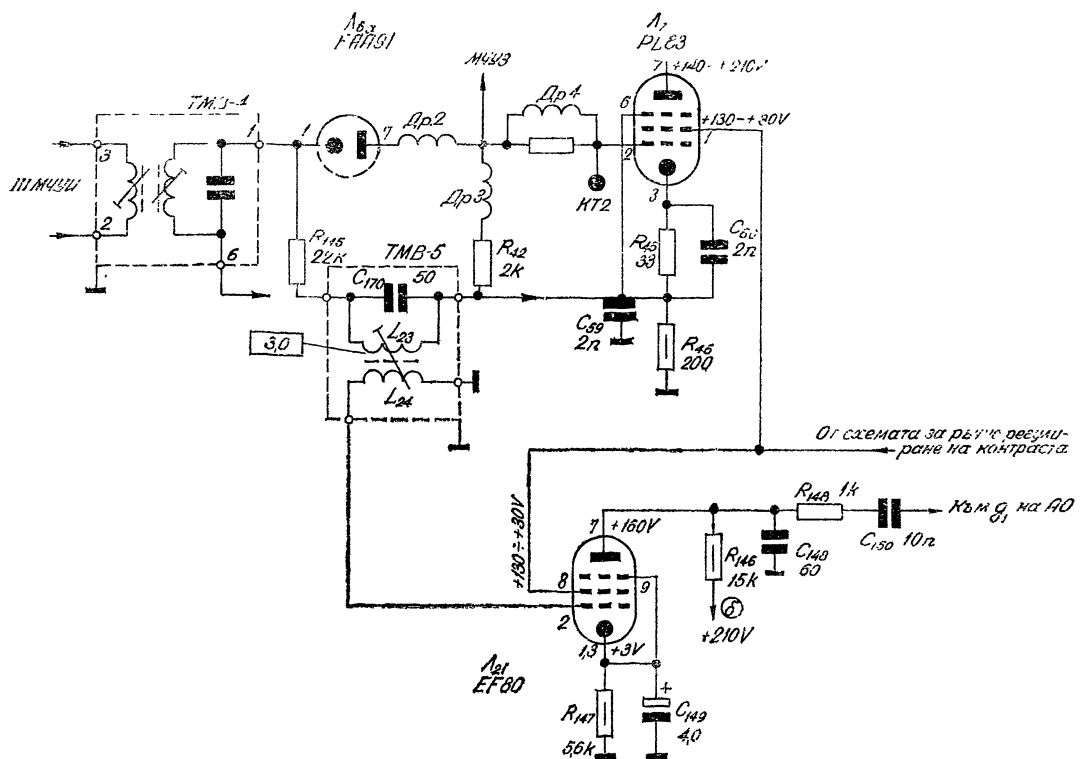
Фазосравняващият трансформатор Tp_3 прехвърля с C_{36} и C_{87} към диодите за фазово сравняване D_2 и D_3 дефазираните на 180° синхроимпулси за редове и формираните от групите R_{93} , C_{38} и R_{150} , C_{85} импулси на обратния ход на редовете, които са във фаза за двета диода. Протичащите през двета диода токове зависят от приложеното към тях напрежение, което е равно на сумата от тези две импулсни напрежения, и са еднакви само когато фазовата разлика между синхроимпулсите и импулсите на обратния ход е нула. При този случай на изхода на групата за фазово сравняване (след филтърната група C_{89} , R_{96} , C_{90} , R_{97}), напрежението се определя само от положението на плъзгача на потенциометъра за регулиране на честотата на редовете R_{99} , защото изработваното от групата за фазово сравняване напрежение е нула. При наличието на фазова разлика между синхроимпулсите и импулсите на обратния ход на редовете през единия диод протича по-голям ток, групата за фазово сравняване изработка подходящо управляващо напрежение, което се добавя или изважда в зависимост от знака си към напрежението, получено от плъзгача на R_{99} , и се подава към управляващата решетка на реактивната лампа L_{13a} . Потенциометърът за фино регулиране на честотата на редовете R_{99} е свързан в делител на катодното напрежение на L_{13a} заедно с резистора R_{98} , като подава малко положително напрежение към общата точка на резисторите R_{94} , R_{95} , свързани за запазване на симетрията на схемата. R_{92} и C_{92} образуват катодната група на L_{13a} .

Реактивната лампа е изпълнена с анода, третата решетка и катода на L_{13a} . Тя е свързана към синусовия трептящ кръг посредством R_{100} и дефазира изработваното синусоидално напрежение на генератора на 90° (за тази цел служи кондензаторът C_{91}). По този начин лампата изпълнява ролята на регулируемо реактивно съпротивление, което изменя честотата на синусовия генератор в необходимата посока до пълното изравняване на честотите и фазите на синусовия генератор със синхроимпулсите за редовете.

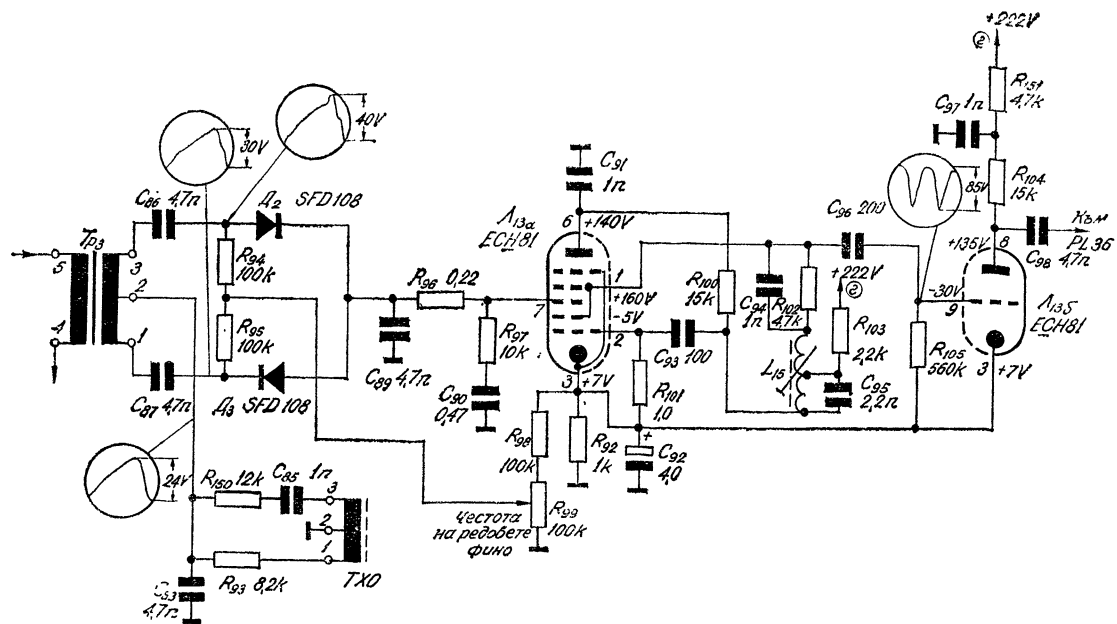
Синусовият генератор е изпълнен с екранните решетки, изпълняващи ролята на анод, с първата решетка и катода на L_{13a} . Токът, протичащ през екранните решетки на лампата, се ограничава от резистора R_{102} ; C_{94} пропуска променливото напрежение. Утечен резистор за синусовия генератор е R_{101} ; кондензаторът C_{93} е разделителен. Трептящият кръг е изпълнен



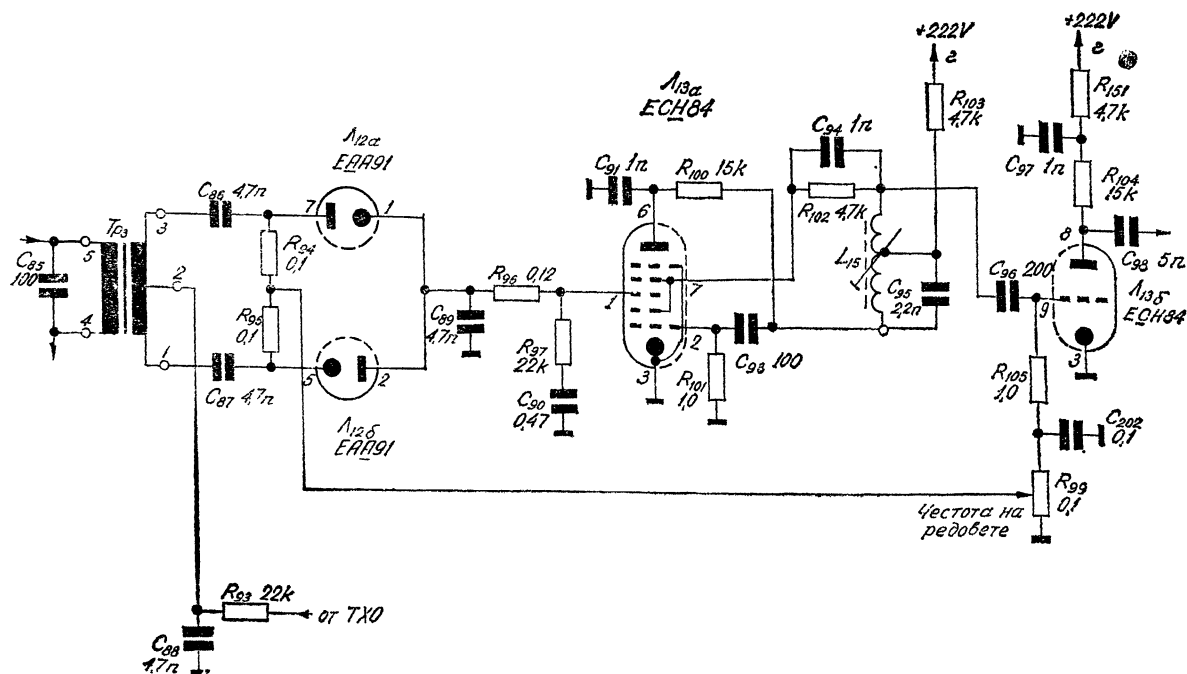
Фиг. 1-11. Амплитуден отсчител и усилвател-ограничител на синхроимпулсите при „Опера 3“



Фиг. 1-12. Дефазатор на смущенията при „Опера З“



Фиг. 1-13. Група за фазово сравняване, реактивна лампа, синусов генератор и формираща лампа, изпълнени с ECH 81 и полупроводникови диоди при „Опера 3“

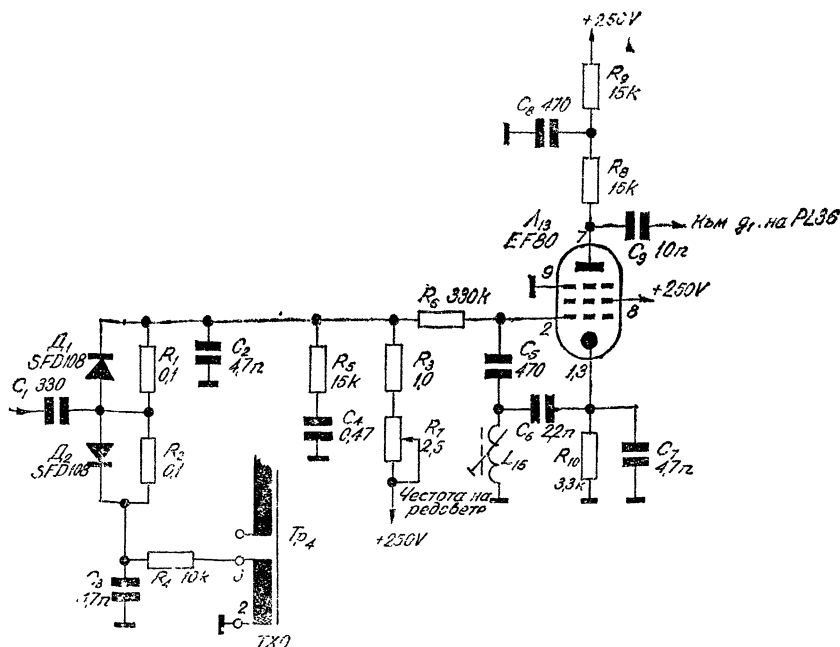


Фиг. 1-14. Група за фазово сравняване, реактивна лампа, синусов генератор и формираща лампа, изпълнени с ECH 84 и лампови диоди при първите серии на „Опера 3“

с част от бобината L_{15} и кондензатора C_{95} . През R_{103} се подава захранващо напрежение за генератора.

Полученото синусоидално напрежение се прехвърля от C_{96} към управляващата решетка на формиращата лампа L_{13b} . Този кондензатор се зарежда от протичащите решетъчни токове и като се разрежда през утечния резистор R_{105} , определя автоматично режима на лампата. По този начин лампата L_{13b} се отпушва само за

положителните върхове на синусоидалното напрежение. Когато L_{13b} е запущена, кондензаторът C_{97} се зарежда до напрежението на токоизточника през R_{1b1} , а когато лампата е отпушена — C_{97} се разрежда през R_{104} и лампата. По този начин се променя формата на синусоидалното напрежение в импулсна. Помощником C_{98} се подава импулсното напрежение към крайната лампа за хоризонтално отклонение.



Фиг. 1-15. Група за фазово сравняване, задаваща синусов генератор и формираща лампа с EF 80 при някои серии на „Опера З“

При някои серии „Опера 3“ се използва схемата, показана на фиг. 1-14. Необходимото напрежение за фино регулиране на честотата на редовете е отрицателно, защото катодът на L_{13a} е заземен директно и се взема от управляващата решетка на формиращата лампа L_{136} посредством делителя, образуван от R_{105} и R_{99} . C_{202} е филтърен кондензатор.

Използвана е и схемата, показана на фиг. 1-15, при която отсъствува фазосравняващият трансформатор. Към средната точка на двата диода C_1 подава във фаза синхроимпулсите за редове, които затварят веригата си към шаси през диодите C_2 и C_3 . Групата R_4 , C_3 подава формираните импулси на обратния ход на кадрите, които са дефазирани за двета диода на 180° поради нарецното им свързване. Противоположните през диодите токове зависят от фазовата разлика на двете импулсни напрежения и на изхода на схемата (след филтърната група C_2 , R_5 , C_4) се получава управляващо напрежение, което се подава към управляващата решетка на синусовия генератор. Той е изпълнен по капацитивна триточкова схема с бобината L_{15} и кондензаторите C_5 , C_6 и C_7 . Последните два от тях образуват заедно с L_{15} трептящия кръг на синусовия генератор. R_{10} е катоден резистор. Резисторите R_3 и R_7 са утечни, свързани са към положителното захранващо напрежение за определяне на работната точка на синусовия генератор, от която зависи и честотата му. По този начин с R_7 се регулира фино честотата на редовете. Работната точка на L_{13a} се изменя и от изразяването от групата за фазово сравняване регулиращо напрежение. R_6 е разделителен резистор. Формирането на възбудителното на-

прежение за крайната лампа за хоризонтално отклонение се извършва от групата R_9 , C_8 , R_8 по същия начин, както при схемата от фиг. 1-13.

Данните за трансформатора за фазово сравняване са посочени в табл. 1-3.

Таблица 1-3

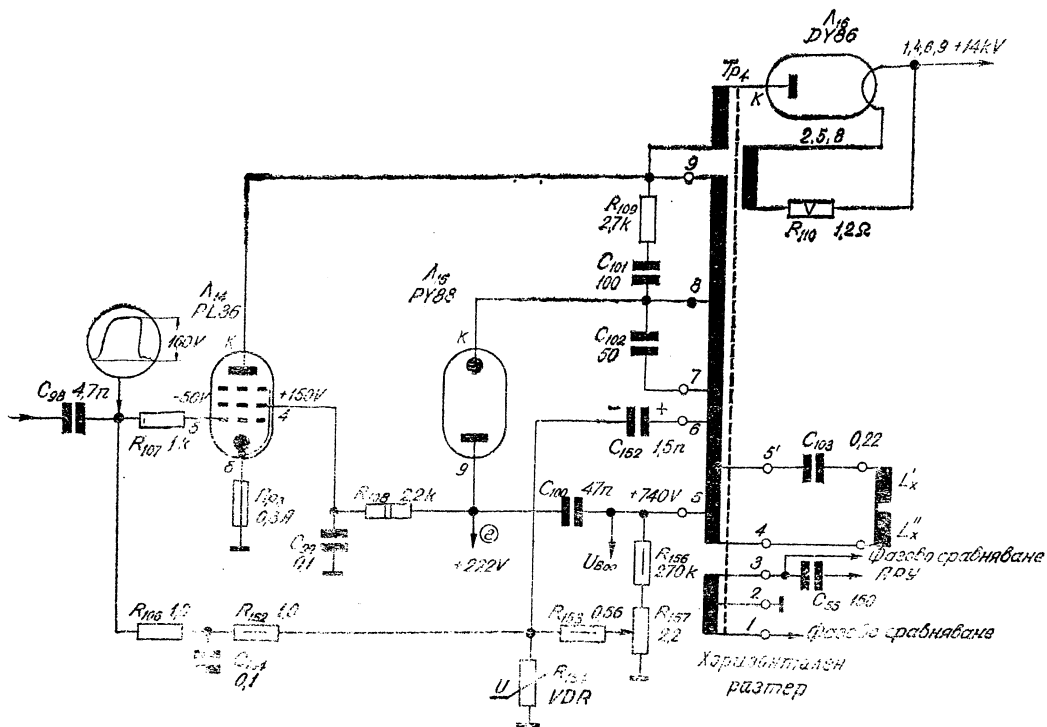
Трансформатор за фазово сравняване Tr_3

Намотка	Брой на навивките	Проводник
Първична	400	ПЕЛ 0,1
Вторична	2×300	ПЕЛ 0,1

1.12. КРАЙНО СТЪПАЛО ЗА ХОРИЗОНТАЛНО ОТКЛОНЕНИЕ (фиг. 1-16)

Състои се от крайна лампа за хоризонтално отклонение L_{14} , към която през разделителния кондензатор C_{98} и резистора против самовъзбуждане R_{107} се подава възбудително напрежение; демпферен диод L_{15} , трансформатор за хоризонтално отклонение Tp_4 , високоволтов изправител L_{16} , група против паразитни трептения R_{109} , C_{101} , бестерен кондензатор C_{100} , кондензатор за настройване на трета хармонична на Tp_4 — C_{102} , хоризонтални отклонителни бобини L_x^1 и L_x^2 (свързани автотрансформаторно към Tp_4 през кондензатора C_{103} за намаляване на тангенсовите изкривявания) и група за автоматично поддържане на хоризонталния размер, която действува по следния начин.

Кондензаторът C_{152} прехвърля към варисто-



Фиг. 1-16. Крайно стъпало за хоризонтално отклонение при „Опера 3“

ра R_{154} положителните импулси на обратния ход на редовете. Протичащият във веригата импулсен ток е пропорционален на амплитудата им и зарежда C_{152} с показаната на схемата полярност. Това отрицателно напрежение се подава през филтърната група R_{152} , C_{104} и разделителния резистор R_{106} към управляващата решетка на L_{14} . При увеличаване на хоризонталния размер се увеличава амплитудата на импулсите на обратния ход. През варистора ще протече по-голям ток и ще се получи по-висок отрицателен потенциал, който ще измени така режима на крайната лампа, че хоризонталният размер да се запази постоянен. За първоначално определяне на размера към варистора се подава положително напрежение от потенциометъра за регулиране на хоризонталния размер R_{157} , свързан в делител на бостерното напрежение с R_{156} . Резисторът R_{153} е разделителен.

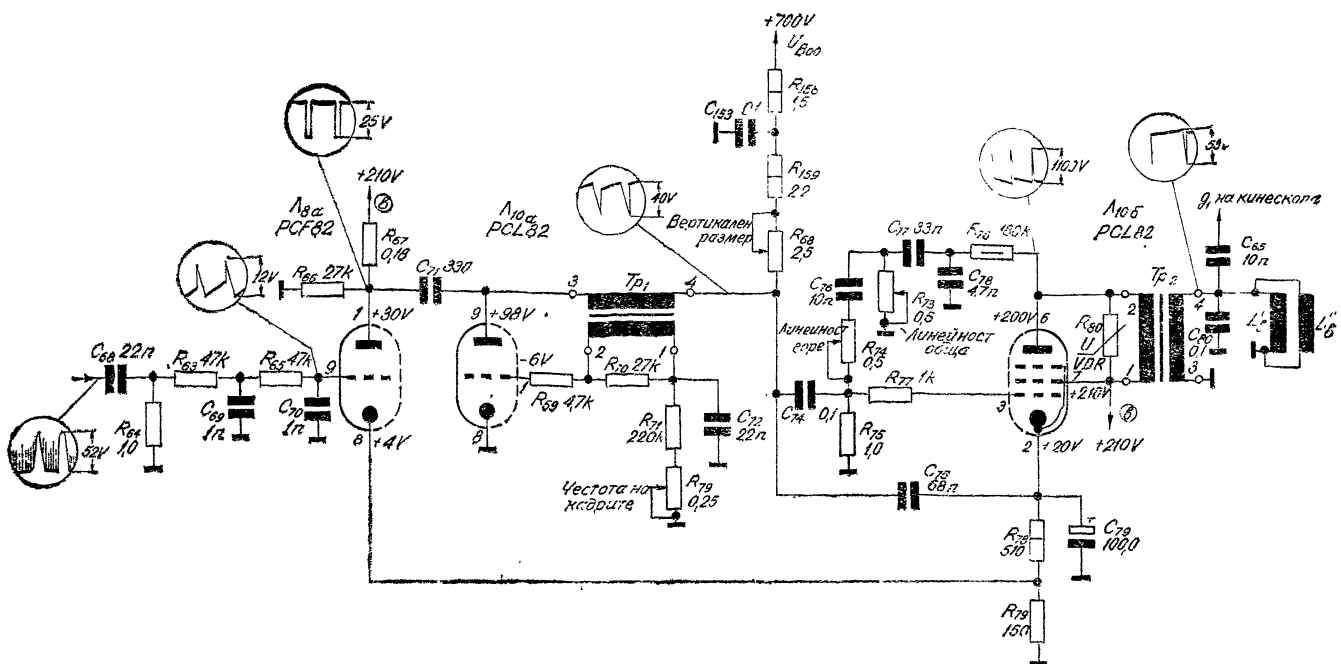
1.13. ГРУПА ЗА ВЕРТИКАЛНО ОТКЛОНЕНИЕ (фиг. 1-17)

Групата за вертикално отклонение се състои от усилвател за кадровите синхроимпулси L_{8a} , задаващ блокинг-генератор за вертикално отклонение L_{10a} и крайно стъпало за вертикално отклонение L_{10b} .

L_{8a} усилва и ограничава формираниите от двойната интегрираща група синхроимпулси за кадрите. За тази цел анодното напрежение на лампата е ниско и се получава от делителя R_{67} , R_{66} . Утечен резистор за лампата е R_{64} .

За по-добро ограничаване потенциалът на катода на L_{8a} е повдигнат на +4 V. Усилените и ограничени синхроимпулси за кадрите се подават от C_{71} към анода на L_{10a} и синхронизират задаващия генератор.

Задаващият блокинг-генератор е изпълнен по схема с аноднорешетъчна връзка с лампата L_{10} и блокинг-трансформатора Tp_1 . Честотата на кадрите се определя от времеконстантата на групата C_{72} , R_{71} , R_{79} , последният резистор от която служи за регулирането ѝ. R_{70} потиска възникващите паразитни трептения в началото на блокинг-процеса, а R_{59} служи за подобряване на презревовата развивка, като определя по-точно момента на синхронизацията. Изработваното от задаващия блокинг-генератор напрежение зарежда кондензатора C_{75} през резисторите R_{159} и R_{68} , при което формата му се изменя от правоъгълна в линейно нарастваща (трионообразна). С резистора R_{68} се регулира вертикалният размер, като се изменя времеконстантата на зарядната група, а оттам и скоростта на зареждане на C_{75} . Полученото трионообразно напрежение се прехранва към крайното стъпало за вертикално отклонение през C_{74} . Резисторът R_{75} е утечен за крайната лампа L_{10b} , а R_{77} премахва опасността от самовъзбуждане на стъпалото. Преднапрежението на L_{10b} се получава от групата в катода R_{78} , R_{79} , C_{79} , към която за подобряване на линейността е свързан другият извод на зарядния кондензатор C_{75} . Товар на крайното стъпало е изходният трансформатор за кадри Tp_2 , към вторичната намотка на който са свързани вер-



Фиг. Г-17 Група за вертикално отклонение при „Опера 3“

тикалните отклонителни бобини L'_b и L''_b . Кондензаторът C_{80} отвежда към шаси индуктираното в тях напрежение с честота на редовете, а C_{65} подава импулсите на обратния ход на кадрите към венелтовия цилиндър на кинескопа за гасенето им. Първичната намотка на T_{P_2} е шунтирана с варистора R_{80} , който оказва малко съпротивление за импулсите на обратния ход и намалява амплитудата им, с което предпазва крайното стъпало от повреда. За получаването на отклонително напрежение с парabolично нарастваща форма, което е необходимо за получаване на линейно нарастващ ток през вертикалните отклонителни бобини, е използвана групата, в която участвуват елементите R_{76} , C_{78} , C_{77} , R_{73} , C_{76} и R_{74} . От тях с R_{74} се регулира линейността в горната част на расте-

Таблица 1-4

Блокинг-трансформатор за вертикално отклонение Tp_1

Намотка	Брой на навивките	Проводник
Анодна	1000	ПЕЛ 0,09
Решетъчна	2000	ПЕЛ 0,09

Таблица 1-5

Изходен трансформатор за вертикално отклонение Tp_2

Намотка	Брой на навивките	Проводник
Първична	3000	ПЕЛ 0,18
Вторична	125	ПЕЛ 0,57

ра, а посредством R_{73} се нагласява общата вертикална линейност.

Данните за блокинг-трансформатора T_{p_1} са дадени в табл. 1-4, а за изходния трансформатор T_{p_2} — в табл. 1-5.

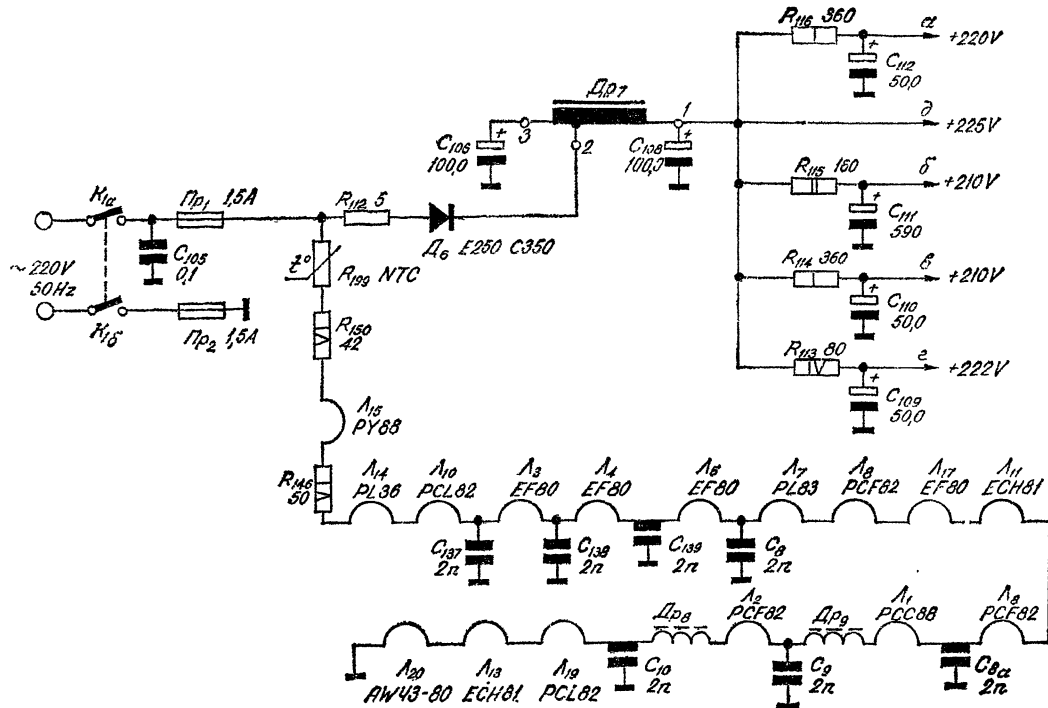
1.14. ТОКОЗАХРАНВАНЕ (фиг. 1-18)

Токозахранването е безтрансформаторно. Единият край на мрежата е заземен, а към другия са свързани мрежовият сelenов изправител D_6 и отоплителната верига на лампите. За намаляване на първоначалния токов удар, при който през диода D_6 протича голям ток, защото електролитните кондензатори са разредени и представляват много малко съпротивление, последователно е свързан резисторът R_{112} . Изправеното напрежение се подава към средния извод на дросела Dp_7 , с което се подобрява филтрацията. Кондензаторите C_{106} и C_{108} са филтърни. Необходимите захранващи напрежения се получават от съответните филтърни групи R_{116} , C_{112} ; R_{115} , C_{111} ; R_{114} , C_{110} и R_{113} , C_{109} .

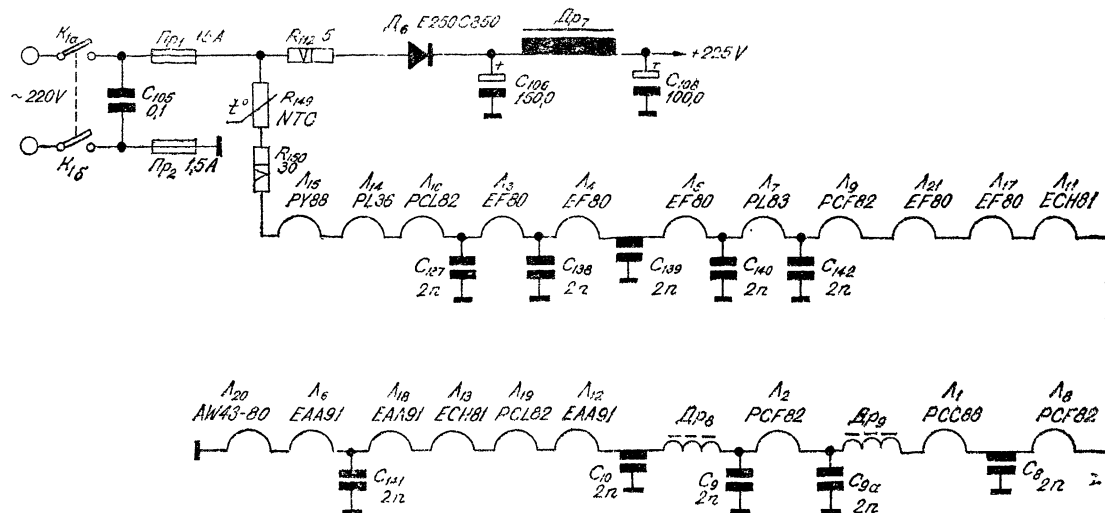
В отопителната верига е свързан термисторът R_{119} , който намалява първоначалния токов удар, дължащ се на малкото съпротивление на студените отопителни жички на лампите R_{150} е гасящ, дроселите и кондензаторите в отопителната верига са против самовъзбужд.

Дросел в захранването *Dr₇*

Намотка	Брой на навивките	Проводник
I-2	2000	ПЕЛ 0,35



Фиг. 1-18. Токозахраниване при „Опера 3“



Фиг. 1-19. Отоплителна верига при „Опера 3“ с лампови диоди

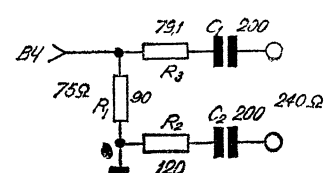
дане. На фиг. 1-19 е показана схемата на отоплителната верига при „Опера 3“ с лампови диоди.

Данните за дросела Δp_7 , са посочени в табл. 1-6.

НАСТРОЙВАНЕ НА ТЕЛЕВИЗИОННИЯ ПРИЕМНИК „ОПЕРА 3“

1.15. НАСТРОЙВАНЕ НА КАНАЛНИЯ ПРЕВЪКЛЮЧАТЕЛ

Необходими са следните измервателни уреди и приспособления:

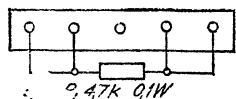


Фиг. 1-20. Симетриращо устройство

- 1) вобулоскоп ПНТ-59 или подобен;
- 2) симетриращо-съгласуващо устройство, показано на фиг. 1-20.

3) еталонна плочка с входни бобини за девети канал.

4) еталонна плочка с осцилаторна бобина и с бобини на лентовия филтър за девети канал;

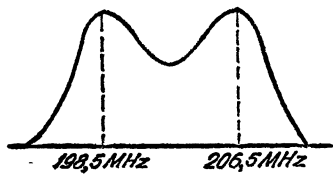


Фиг. 1-21. Окъсяваща плочка

5) окъсяваща плочка, която се изработка от празна плочка за входните бобини, както е показано на фиг. 1-21; резисторът осъществява връзката между решетката и катода на първата лампова система на РСС88.

1. Настройване на тримерите от лентовия филтър C_{12} и C_{14}

Включва се телевизионният приемник на девети канал, като предварително се поставя на мястото на входната плочка от барабана на каналния превключвател окъсяващата плоч-



Фиг. 1-22. Честотна характеристика при настройване на тримерите от лентовия филтър за девети канал

ка (фиг. 1-21), а плочката от лентовия филтър се заменя с еталонната плочка за девети канал.

Свързва се изходът на вобулоскопа чрез съгласувашото устройство (вж. фиг. 1-20) към антенните букси „слаб сигнал“.

Входът на вобулоскопа се свързва между контролната точка $KT1$ и шаси.

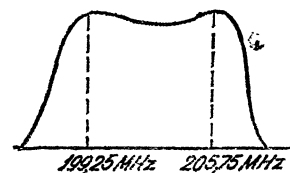
Въртят се ядрата на двата тримера, докато се получи честотната характеристика, показана на фиг. 1-22. Характерно за нея е, че максимумите ѝ са отдалечени от носещите честоти за изображението и звука на девети канал с по-около 500 kHz.

Най-добрата настройка трябва да се получи, когато ядрата на тримерите са завити на около $1/4$ до $1/3$ от дължината им. Ако това не се постигне, прибегва се до коригиране на монтажния капацитет посредством приближаване и отдалечаване на кондензаторите C_{13} и C_{15} .

2. Настройване на тримера за неутриализация C_5

Вобулоскопът остава свързан към същите точки. На мястото на окъсяващата плочка се свързва еталонната входна плочка за девети

канал. На екрана трябва да се появи крива с по-голяма амплитуда, по-тясна честотна лента и с по-малко спадане в средната част от първата.



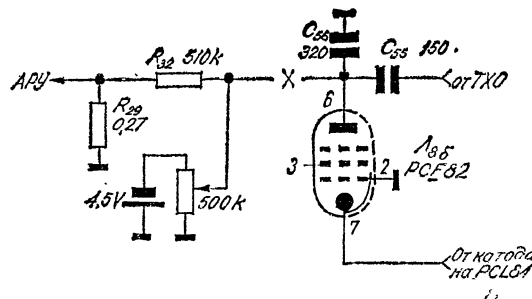
Фиг. 1-23. Честотна характеристика при настройване на тримера за неутриализация

Посредством въртене на ядрото на тримера за неутриализация C_5 се постига форма на кривата, подобна на показаната на фиг. 1-23. Характерно за нея е, че максимумите ѝ съвпадат с носещите честоти за изображението и звука. Ако тази форма на кривата не може да се постигне само с помощта на ядрото на тримера за неутриализация, допуска се донастройване с ядрата на тримерите от лентовия филтър. След това положението на ядрата на тримерите се фиксира с лак.

3. Настройване на осцилаторния тример C_{19}

Атепюаторът на вобулоскопа се превключва в положение 1:100. Изходът му остава свързан, както досега.

Входът на вобулоскопа се свързва между контролната точка $KT2$ (управляващата решетка на видеоусилвателната радиолампа) и

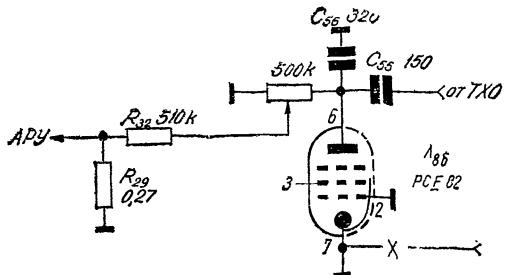


Фиг. 1-24. Получаване на отрицателно преднапрежение с галваничен слепенг

шаси. Върху екрана се получава общата честотна характеристика на канала на изображението. При „Опера 3“ тя е с голям размах, затова трябва да се намали усилването на междиночестотния усилвател чрез прилагане на отрицателно преднапрежение към управляващите решетки на първите две лампи за усилване. Това може да се направи по два начина.

При първия начин положителният полюс на една батерия 4,5 V се свързва към шаси,

а отрицателният — към общата точка на резисторите R_{32} и R_{158} (фиг. 1-24). Анодният извод на лампата за ключово АРУ L_{85} се прекъсва. Така вместо изработваното от схемата



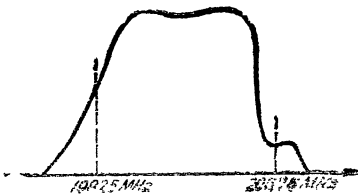
Фиг. 1-25. Получаване на отрицателно преднапрежение чрез промяна на схемата

за автоматично регулиране на усилването напрежение към веригата на АРУ се подава напрежението от батерията. Ако усилването на междинночестотния усилвател стане малко, може да се свърже паралелно на батерията потенциометър и да се изменя съпротивлението му, докато се получи нужната амплитуда.

При втория начин (фиг. 1-25), ако не разполагаме с батерия, трябва да отпирам проводника от катода на ключовата лампа и да свържем катода към шаси. При това ключовата лампа се отпуска повече и изработка по-голямо отрицателно напрежение. След това отпираме R_{32} и R_{158} от анода на ключовата лампа и между анода и шаси свързваме потенциометър $500 k\Omega$. Неговия пълзгач свързваме към общата точка на R_{32} и R_{158} и по този начин регулираме подаваното отрицателно преднапрежение към веригите, регулирани от схемата за АРУ.

След получаването на удобна за наблюдаване крива трябва да се установи средното положение на регулатора за фина настройка на хетеродина. Съществуват два метода.

При първия флагчето за фина настройка се завърта на такъв ъгъл, при който изрязаното на него зъбче съвпадне с ръба на разположената пред него метална плочка.



Фиг. 1-26. Честотна характеристика при настройване на осцилаторния тример за девети канал

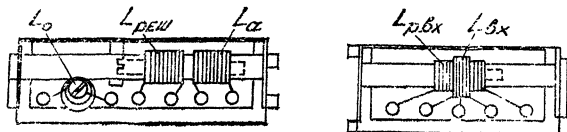
При втория начин отбелнязваме никаква характерна точка от характеристиката върху екрана на вобулоскопа. Завъртаме флагчето от крайно ляво до крайно дясно положение и

следим изместването на тази точка. След това завъртаме флагчето така, че точката да застане в средата между двете крайни положения.

Ако осцилаторният тример е настроен правилно, носещата честота за звука 205,25 MHz трябва да съвпадне със средата на звуковото прагче в честотната характеристика, а носещата честота за изображението 195,35 MHz да попадне в средната част на десния склон от честотната характеристика (фиг. 1-26). В противен случай полупроменливият кондензатор C_{19} се завърта, докато това условие се изпълни. При редовна настройка тя трябва да навлезе на около $1/3$ до $1/4$ от общата си дължина. В противен случай коригираме монтажния капацитет чрез разместяване на близките елементи на осцилаторното стъпало. След настройката тримерът се фиксира с лак.

4. Настройване на бобините от лентовия филтър

Вобулоскопът се превключва на обхват, съответстващ на настройвания канал. На барабана се поставя плочката с бобините от лентовия филтър на дадения канал и окъсяващата плочка.



Фиг. 1-27. Разположение на бобините върху плочките от барабана на каналния превключвател

Изходът на вобулоскопа се свързва към буksите „слаб сигнал“ от antennата плочка, а входът — към контролната точка $KT1$.

С настройване на бобините от лентовия филтър получената върху екрана крива трябва да добие вида, показан на фиг. 1-22. Ако кривата е по-тясна, увеличава се индуктивната връзка между двете бобини на филтъра, като се приближават една към друга, без да се нарушава стъпката на навиването им. В случай че кривата е широка, постъпва се обратно. Изместяването на кривата в хоризонтално направление се извършва с ядрата на бобините L_a и L_p (фиг. 1-27).

5. Настройване на входните бобини

Свързването и регулировките на вобулоскопа се назавзват същите.

На мястото на окъсяващата плочка се поставя плочката с входните бобини L_{bx} и L_{rvch} за дадения канал. Посредством настройката им се получава кривата, показвана на фиг. 1-23.

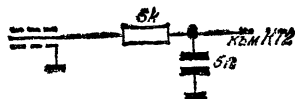
6. Настройване на осцилаторната бобина

Входът на вобулоскопа се свързва към контролната точка $KT2$. Завърта се ядрото на осцилаторната бобина (при средно положение

на флагчето), докато междинните честоти за изображението и звука съвпаднат с местата, посочени на фиг. 1-26.

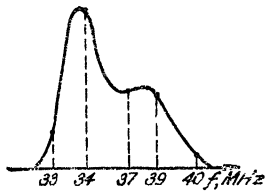
1.16. НАСТРОЙВАНЕ НА МЕЖДИНОЧЕСТОТНИЯ УСИЛВАТЕЛ ЗА ИЗОБРАЖЕНИЕТО И ЗВУКА

Входът на вобулоскопа се свързва към контролната точка $KT2$ посредством нискочестотния кабел и групата, показана на фиг. 1-28.



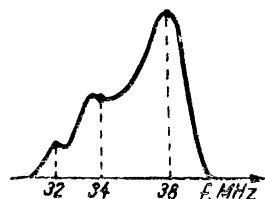
Фиг. 1-28. Нискочестотен филтър

Изходът на вобулоскопа се свързва към първата решетка на L_5 (EF80). Настройват се бобините L_{11} и L_{12} , докато се получи кривата, показана на фиг. 1-29.

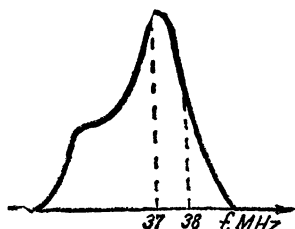


Фиг. 1-29. Честотна характеристика при настройване на L_{11} и L_{12}

Свързва се изходът на вобулоскопа към първата решетка на L_4 (EF80). Завърта се общото ядро на бобините L_9 и L'_9 до получаване на характеристиката, показана на фиг. 1-30.



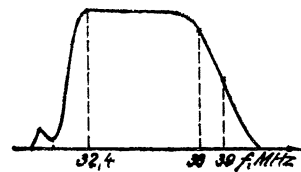
Фиг. 1-30. Честотна характеристика при настройване на L_9 и L'_9



Фиг. 1-31. Честотна характеристика при настройване на L_7 и L'_7

Свързва се изходът на вобулоскопа към първата решетка на L_3 (EF80). Настройва се общото ядро на бобините L_7 и L'_7 до получаване на характеристиката, показана на фиг. 1-31.

След това се свързва изходът на вобулоскопа към контролната точка $KT1$, намираща се на каналния превключвател. Получава се пълната честотна характеристика на междинночестотния усилвател, която трябва да има форма-



Фиг. 1-32. Обща честотна характеристика

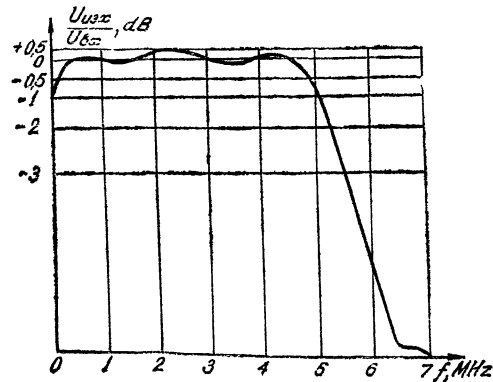
та, показана на фиг. 1-32. За получаването ѝ се настройват и бобините L_3 (в ПТК) и L_4 . Режекторните кръгове трябва да се настроят, както следва: L_{10} — на 32,4 MHz; L_8 — на 40,4 MHz; L_6 — на 40,4 MHz; L_5 — на 30,9 MHz.

Първият режекторен кръг (L_{10} , C_{47}) оформя звуковото прагче в честотната характеристика на междинночестотния усилвател.

При тази настройка е добре да се прекъсне работата на схемата за автоматично регулиране на усилването.

1.17. НАСТРОЙВАНЕ НА ВИДЕОУСИЛВАТЕЛЯ

Проверката на честотната характеристика на видеоусилвателя се извършва посредством вобулоскоп с честотен обхват от 0 до 10 MHz. Изходът му се свързва към входа на видеоусилвателя между $KT2$ и шаси.



Фиг. 1-33. Честотна характеристика на видеоусилвателя

Потенциометърът за ръчно регулиране на контраста R_{53} се поставя на максимален контраст. Катодът на видеоусилвателната радиолампа (третото краче) се свързва към шаси.

Входът на вобулоскопа се свързва към катода на кинескопа посредством детекторна гла-

ва. На екрана на вобулоскопа трябва да се получи честотната характеристика на видеоусилвателя, подобна на показаната на фиг. 1-33. Завърта се горното ядро на *КМЗ-1* дотогава, докато минимумът на характеристиката попадне точно на честотата $6,5 \text{ MHz}$. По този начин се настройва режекторният кръг L_{14} .

Честотната характеристика на видеоусилвателя трябва да има лента на пропускане, не по-тясна от 5,5 MHz при ниво 70%.

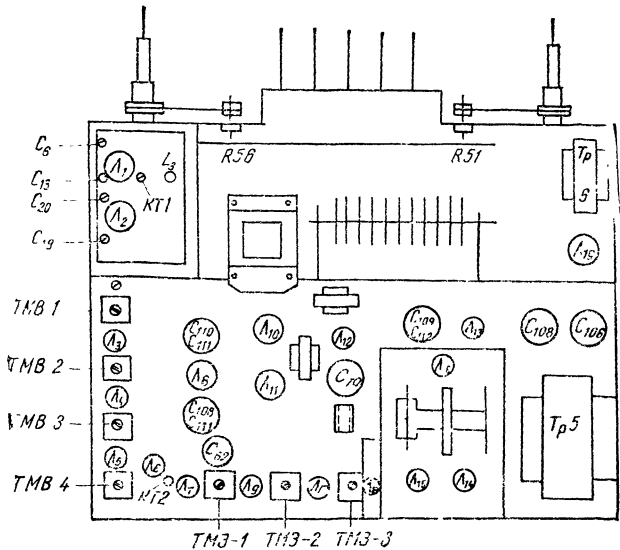
Усиливането на видеоусилвателя се провежда посредством тонгенератор и лампов волтметър. Подава се между $KT2$ и шаси напрежение с честота 1000 Hz и амплитуда $0,5\text{ V}_{eff}$, измерена с лампов волтметър. След това се включва ламповият волтметър към катода на кинескопа — трябва да се отчете променливо напрежение с амплитуда, по-голяма от 10 V_{eff} .

1.18. НАСТРОЙВАНЕ НА УСИЛВАТЕЛЯ ЗА ВТОРАТА МЕЖДИННА ЧЕСТОТА НА ЗВУКА

Усиливателят за втората междинна честота на звука се настройва по същия начин, както този на „Пирин“ (вж. раздел 3.19).

1.19. ТЕЛЕВИЗИОНЕН ПРИЕМНИК „ОПЕРА 1“

„Опера 1“ са първите български телевизори. Характеризират се с използването на радиолампи от Е-серия, защото захранването им е трансформаторно. В общи линии схемното им

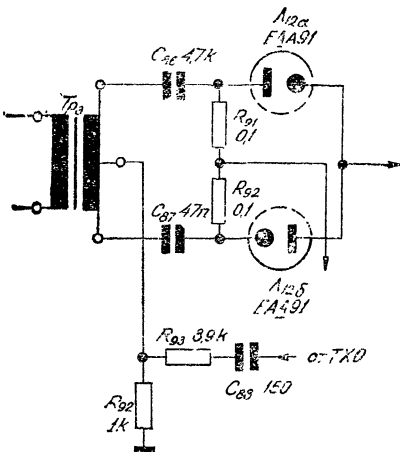


Фиг. 1-34. Разположение на радиолампите при „Опера 1“

решение се различава малко от това на „Опера 3“.

На фиг. 1-34 е показано разположението на радиолампите при „Опера 1“. Различията при тях са следните: в каналния превключвател са използвани радиолампите ECC84 и ECF82; за видеоусилвател е използвана EL83; L_8

L_9 са съответно ECF82; за нискочестотния усилвател и за вертикално отклонение са използвани две лампи ECL82, а в крайното стъпало за хоризонтално отклонение участват лампите EL81 и EY81.



Фиг. 1-35. Формиране на импулсите на обратния ход при „Опера 1“

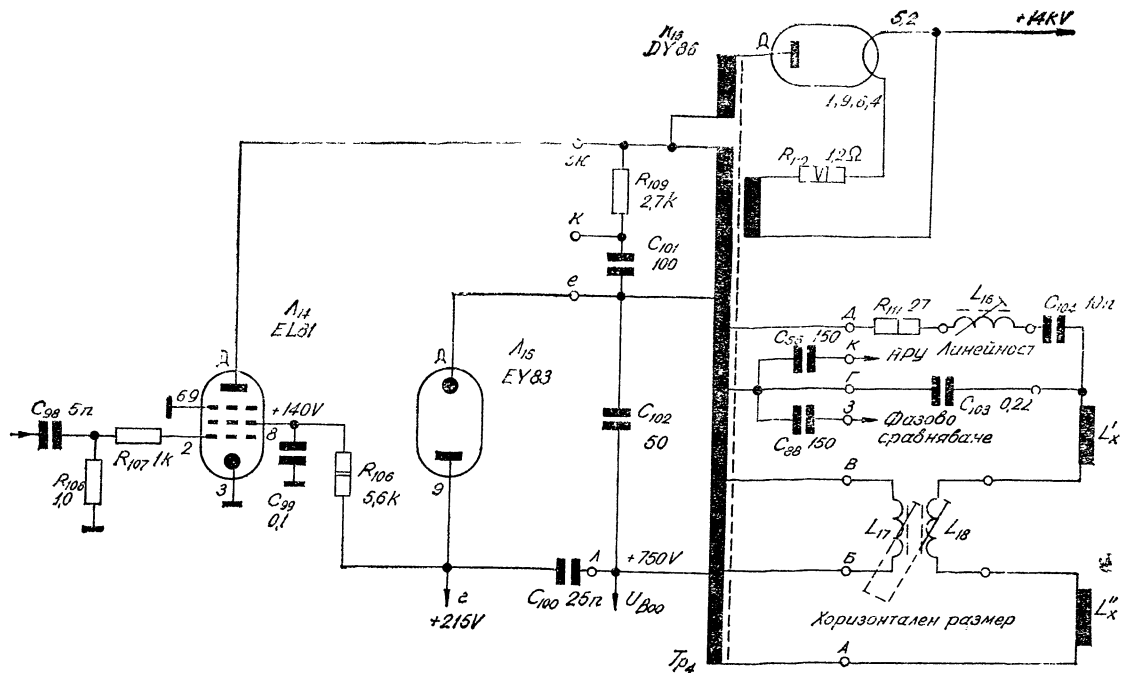
В групата за фазово сравняване е изменена схемата за формиране на импулсите на обратния ход на редовете (фиг. 1-35).

В крайното стъпало за хоризонтално отклонение (фиг. 1-36) освен използването на лампите EL81 и EY81 у характерно отсъствието на група за автоматично поддържане на хоризонталния размер, отсъствието на допълнителна намотка на ТХО и използването на диференциален трансформатор (съставен от L_{17} и L_{18}) за регулиране на хоризонталния размер. Необходимите импулси на обратния ход на редовете, които се подават към групата за АРУ и към групата за фазово сравняване, се вземат от извод Γ на ТХО.

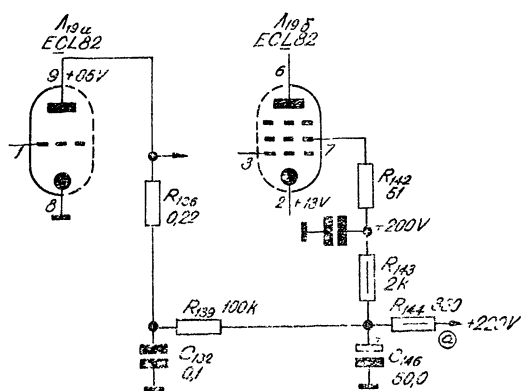
Изменено е анодното и екранното захранване на лампите от нискочестотния усилвател, което се вижда от фиг. 1-37.

Анодната верига на задаващия блокинг-генератор за вертикално отклонение се захранва от напрежението на мрежовия изправител (фиг. 1-38), а изменението в крайното стъпало за вертикално отклонение са показани на фиг. 1-39.

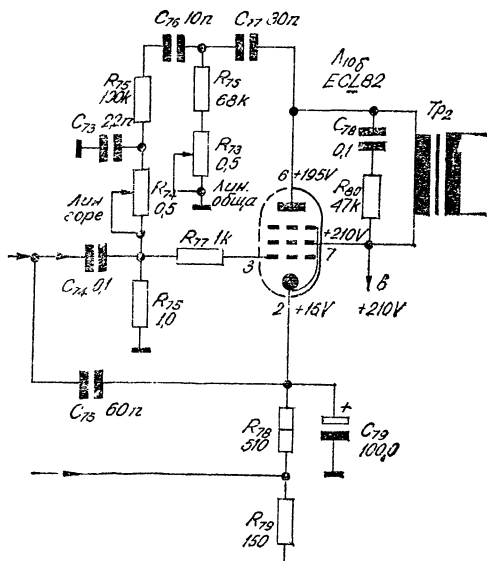
На фиг. 1-40 е показана схемата на токо-захранването, която се различава напълно от тази при „Опера 3“. Отоплителното напрежение за електронните лампи се получава от мрежовия трансформатор Tp_5 . От другата му вторична намотка се получава постоянното напрежение за захранване на анодните и екранните вериги на лампите посредством изправителя с усвояване на напрежението, изпълнен със селеновия стълб със среден извод (отбелязан схематично като D_{6a} и D_{6b}) и електролитните кондензатори за удвояване на напрежението C_{106} и C_{107} .



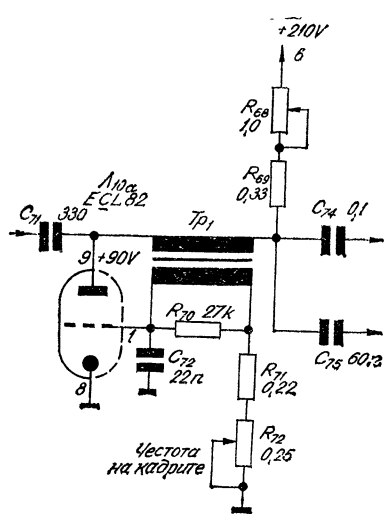
Фиг. 1-36. Крайно стъпало за хоризонтално отклонение при „Опера 1“



Фиг. 1-37. Захранване на нисковолнния усилвател при „Опера 1“



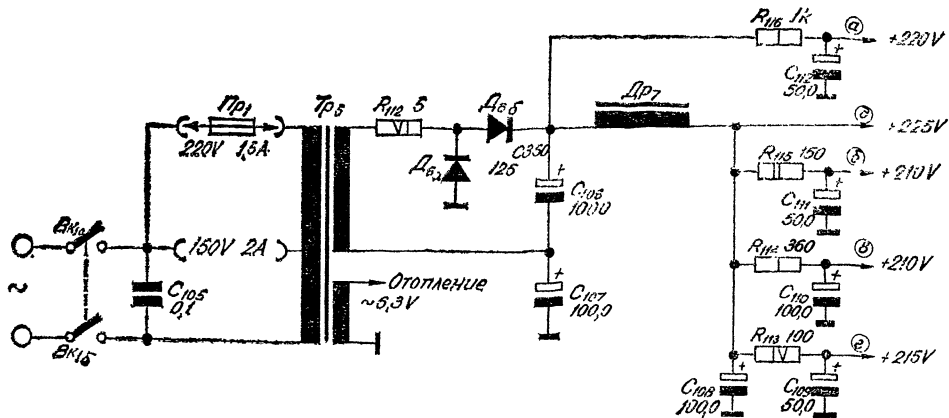
Фиг. 1-39. Крайно стъпало за вертикално отклонение при „Опера 1“



Фиг. 1-38. Задаващ блокинг-генератор за вертикално отклонение при „Опера 1“

1.20. ТЕЛЕВИЗИОНЕН ПРИЕМНИК „ОПЕРА 2“

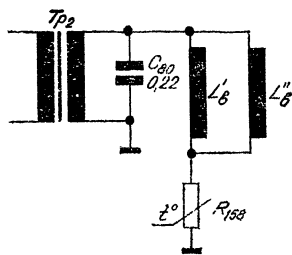
Той се различава от „Опера 1“ главно по наличието на допълнителна намотка в трансформатора за хоризонтално отклонение със заземен среден извод, от която се получават импулси на обратния ход на редовете с положителна полярност за групата за АРУ и за групата за фазово сравняване и импулси на обратния ход на редовете с отрицателна полярност, необходими също за работата на групата за фазово сравняване. И при „Опера 2“ няма група за автоматично поддържане на хоризонталния размер.



Фиг. 1-40. Токозахранване при „Опера 1“

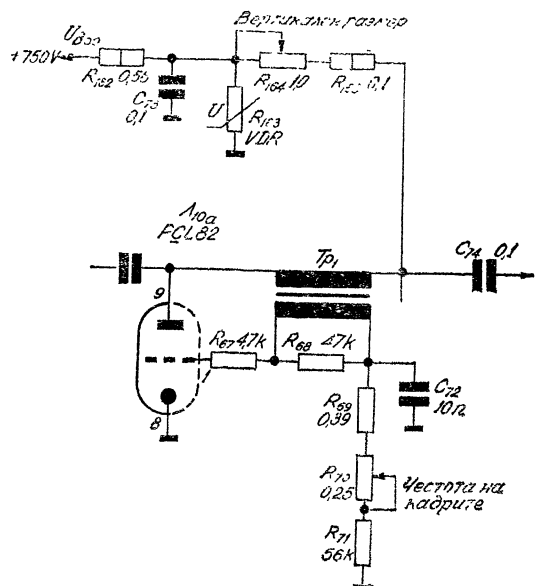
1.21. ТЕЛЕВИЗИОНЕН ПРИЕМНИК „ОПЕРА 4“

Той е по-нататъшното усъвършенствуване на „Опера 3“. Главните различия са в наличието на термистор, свързан последователно на бобините за вертикално отклонение (фиг. 1-41),

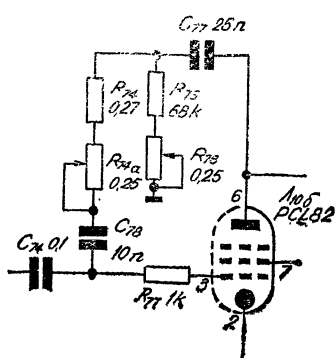


Фиг. 1-41. Свързване на вертикално отклонителни бобини при „Опера 4“

в захранването на анодната верига на задаващия блокинг-генератор за вертикално отклонение от стабилизирана с варистора R_{163} част от бестерното напрежение (фиг. 1-42) и в честотнозависимата отрицателна обратна връзка в крайното стъпало за вертикално отклонение (фиг. 1-43).



Фиг. 1-42. Задаващ блокинг-генератор за вертикално отклонение при „Опера 4“



Фиг. 1-43. Изменения в крайното стъпало за вертикално отклонение при „Опера 4“